

# کاربرد روش پردازش تصاویر برای تعیین هاله آلودگی در محیط‌های متخالخل

محمد رضا فدائی تهرانی<sup>۱</sup>, فرهاد شفیعی<sup>۲</sup>, راحله فیضی<sup>۳</sup>

۱- عضو هیئت علمی مجتمع عالی آموزشی و پژوهشی صنعت آب و برق، اصفهان، ایران  
(نویسنده مسئول) mrf1359@gmail.com

۲- دانشجوی دکترای میکروبیولوژی، گروه زیست‌شناسی، دانشکده علوم، دانشگاه اصفهان، ایران

۳- کارشناس ارشد رشته عمران گرایش مهندسی آب، دانشگاه آزاد اسلامی، واحد علوم و تحقیقات تهران، ایران

(دریافت ۹۵/۴/۳۰ پذیرش ۹۵/۵/۲۵)

## چکیده

تعیین گستره و سرعت توسعه هاله آلودگی در منابع آب گامی اساسی در طراحی شیوه پاکسازی است. این فرایند بهویژه برای منابع آب زیرزمینی بهدلیل دسترسی دشوار و تعدد متغیرها پیچیده است. در پژوهش حاضر، روش پردازش تصاویر برای تعیین ناحیه آلودگی و تحلیل میزان پخش مواد همراه جریان تراویش در محیط متخالخل پیشنهاد شده است. علاوه بر الگوریتم پردازش تصاویر در نرم‌افزار MATLAB، از تحلیل کمترین مجموع مرباعات و حل معادله پخش نیز استفاده شد و ضرایب هیدرودینامیکی پخش در بسترها متخالخل در محدوده وسیعی از زمان و مکان بدون ایجاد اغتشاش و با دقت قابل قبول محاسبه شد. تحلیل و راستی آزمایی نتایج نشان‌دهنده دقت مناسب و محدود بودن خطای کمتر از ۱۱ درصد بود، لذا این روش در مطالعه پدیده پخش از کارایی لازم برخوردار است. در این پژوهش تخمین ضریب پخش پذیری به عنوان تابعی از مشخصات محیط متخالخل و عدد پکله ارائه شد، به‌طوری که این ضریب در محیط با دانه‌بندی بین ۵/۰ تا ۳ میلی‌متر در دامنه ۰/۰۰۲۸ تا ۰/۰۰۲ متر به دست آمد که نشانگر تأثیر زیاد دانه‌بندی بر روی ضریب پخش پذیری است.

**واژه‌های کلیدی:** پردازش تصاویر، ضرایب پخش، تصفیه درجا، آب زیرزمینی، هاله آلودگی، محیط‌های متخالخل

## ۱- مقدمه

رفع آلودگی آب‌های زیرزمینی مخارج سنگینی داشته و نیاز به روش‌های پیچیده است. یکی از روش‌های متدالوی قدمی جهت رفع آلودگی موجود در منابع آب زیرزمینی، پمپاژ آن به سطح زمین و تصفیه می‌باشد که با مصرف انرژی و هزینه بالا و موفقیت محدود روبرو بوده است (Bailey et al. 1999; Thiruvenkatacharia et al. 2008)

در سال‌های اخیر روش‌های تصفیه درجا<sup>۱</sup> در حوزه محیط‌زیست بهویژه در پاکسازی<sup>۲</sup> منابع آب زیرزمینی توسعه یافته است. در این روش‌ها تعیین گستره و نحوه انتشار آلودگی (یا مواد عامل تصفیه که در ادامه از تکرار آن خودداری می‌گردد) از اقدامات اساسی بوده و در تعیین موفقیت عملیات پاکسازی بهویژه در کاهش هزینه‌ها و

امروزه با رشد جمعیت و فناوری، نیاز فزاينده به آب‌های زیرزمینی به وجود آمده است. رشد فعالیت‌های صنعتی و کشاورزی و از سوی دیگر عدم توجه به استانداردهای محیط‌زیست موجب ورود مقادیر زیادی از آلاینده‌های مختلف به منابع آب زیرزمینی و تخریب جدی آن شده است. به‌طوری که آلودگی خاک و آب زیرزمینی به‌وسیله آلاینده‌های آلی و معدنی یکی از بزرگ‌ترین چالش‌های محیط‌زیستی قرن حاضر تلقی می‌شود (Lapworth et al. 2012). فعالیت‌های صنعتی و کشاورزی و تخلیه فاضلاب‌های شهری باعث ورود انواع آلودگی‌ها به منابع آب زیرزمینی شده است که مهم‌ترین انواع آن شامل نیترات، مشتقات نفتی، شوینده‌ها، فلزات سنگین، کودها و آفت‌کش‌ها می‌باشد (Fadaei et al. 2014, 2015).

<sup>1</sup> In situ

<sup>2</sup> Remediation

غیرسمی تبدیل می‌کند (Fadaei et al. 2015). در موقیت طرح‌های پاکسازی به روش PRB، تحلیل و محاسبه نحوه حرکت هاله آلدگی یا انتقال مواد در محیط متخلخل از نکات اساسی است. اهداف اصلی پژوهش حاضر شامل ۱- ساخت مدل فیزیکی دو بعدی محیط متخلخل شفاف جهت فراهم‌سازی تصاویر لازم از حرکت هاله آلدگی برای سرعت‌ها و دانه‌بندی‌های مختلف، ۲- توسعه الگوریتم پردازش تصاویر و انطباق حداثتری ماتریس پخش به کمک کمترین مجموع مربعات، و ۳- مطالعه تأثیر مشخصه‌های جریان در محیط متخلخل بر ضرائب پخش و نحوه انتشار هاله آلدگی می‌باشد.

در مطالعه حاضر به طور مشخص بر ارائه روش جدید جهت محاسبه شدت توسعه هاله آلدگی و همچنین انتقال مواد عامل تصفیه به محل آلدگی تمرکز شد و ترکیب روش پردازش تصاویر و کمترین مجموع مربعات به صورت نوآورانه در محاسبه ضرائب پخش به کار گرفته شد.

## ۲- مواد و روش‌ها

### ۱-۲- مواد

تاکنون روش‌های آزمایشگاهی مختلفی برای شبیه‌سازی نحوه انتقال آلاینده‌ها و مواد در محیط متخلخل ارائه شده است که برخی از این مطالعات تنها شامل بررسی جریان‌های یک بعدی در محیط می‌شود و در برخی، تشکیل جریان در محیط دو یا سه بعدی بررسی شده‌اند (Oswald & Kinzelbach 2003). نتایج ارائه شده در تحقیقات مختلف نشان‌دهنده پیچیدگی شبیه‌سازی آزمایشگاهی جریان در محیط متخلخل است که بیشتر به علت عدم امکان شناخت و کنترل کامل شرایط مرزی مدل آزمایشگاهی ایجاد می‌شود. مدل‌های آزمایشگاهی متداولی که برای شبیه‌سازی جریان در محیط‌های متخلخل به کار می‌روند، نظیر مدل هله شاو، مدل الکتریکی و مدل جعبه‌شنبی، هر یک دارای مزايا و معایبی هستند. استفاده از جعبه‌شنبی برای مطالعه دینامیک جریان در محیط متخلخل، امکان تشکیل محیط تاهمگن یا ناهمسان را فراهم می‌آورد؛ اما انعطاف‌پذیری زیادی نداشته و اطلاعات پنهان در محیط قابل مشاهده و اندازه‌گیری نیست. در سال ۱۹۸۹ به منظور مطالعه اثر ناهمگی محیط و الگوی جریان دوفازی در محیط

ریسک مخاطرات زیست محیطی حائز اهمیت است (Fadaei 2015).

در دو دهه گذشته در اکثر کشورهای پیشرفته دنیا بررسی مکان‌های آلدود و نشت آلاینده‌ها در آب زیرزمینی، رو به افزایش بوده است و مکان‌های زیادی نیازمند تصفیه هستند. در ایران آلدگی آب‌های زیرزمینی به نیترات در مناطق کشاورزی یا مراکز پرجمعیت نظیر شهر مشهد، شهر بابل، دشت ایذه، شهر ارومیه و آبخوان شهرکرد گزارش شده است (Mahmoodian 1985; Mohseni 1986; Naseri & Alijani 2002; Nanbakhsh 2001; Lalezari 2008).

در مورد سایر آلاینده‌ها نیز مطالعات متعددی صورت گرفته است که می‌توان به مطالعه تویسرکانی درباره آلدگی آب‌های زیرزمینی شهر تهران اشاره نمود که در آن مشخص شد که آب‌های زیرزمینی شهر تهران دارای میزان آلدگی بالایی هستند که علت آن به سامانه دفع فاضلاب در تهران و احتمال نشت از ایستگاه‌های پمپ بنزین نسبت داده شد (Toyserkani 2007). همچنین ناصری و همکاران آلدگی آب‌های زیرزمینی ناشی از آلاینده‌های نفتی در منطقه صنعتی ری (جنوب تهران) را مورد بررسی قرار دادند (Naseri 2011). در پژوهشی در سال ۲۰۱۲ در چین به این نتیجه رسیدند که ارزیابی ریسک آلدگی آب‌های زیرزمینی یک ابزار ضروری برای حفاظت از این منابع و برنامه‌ریزی استفاده از سرزمین است (Zhao & Pei 2012). همچنین بنابر اولویت‌های کلان سرمایه ملی آمریکا حدود ۱۳۰۰ مکان آلدود با خطر بالا در این کشور وجود دارد که در حال پاکسازی بوده یا در انتظار پاکسازی می‌باشند. به علاوه سازمان محیط‌زیست آمریکا تا سال ۲۰۱۴، تعداد ۴۵۰/۰۰۰ مکان آلدود رها شده اعلام نموده است (USEPA 2014).

اکثر آلاینده‌ها با عبور جریان تراویش از محل آن‌ها در آب زیرزمینی حل شده و یک پلوم، هاله یا دنباله آب زیرزمینی آلدود به وجود می‌آورند. این دنباله آلدود بسیار بزرگ‌تر از ناحیه منشاء اصلی، به صورت فرایندی رشد می‌نماید. برای تختینی بار در سال ۱۹۹۲، سامانه‌هایی با نام ناحیه واکنشی نفوذ‌پذیر<sup>۱</sup> (PRB) ابداع شد. زمانی که آب زیرزمینی آلدود از میان PRB جریان می‌یابد، مواد شیمیایی با آلدگی‌ها واکنش داده و آن‌ها را به مواد

<sup>۱</sup> Permeable Reactive Barrier (PRB)

لازم است طول بیشتری برای مدل اختیار شود. در نهایت محیط آزمایش در این پژوهش جعبه قائم به ابعاد  $48 \times 19 \times 2/5$  سانتی متر و محیط جعبه افقی به ابعاد  $45 \times 35 \times 4$  سانتی متر انتخاب شد. جریان عبوری از سیستم دارای سطح آزاد بوده و تراز جریان ورودی و خروجی به کمک سریز تنظیم شد. این دو جعبه از دانه های شیشه ای یکنواخت و هماندازه به عنوان محیط متخلخل با مشخصات جدول ۱ پر شد.

جدول ۱- مشخصات محیط متخلخل در مدل های مورد استفاده

**Table 1.** Charateristics of the porous medium in different models

No.	Type of medium	Grain diameter (mm)	Porosity (n)	Hydraulic conductivity (K) [cm/s]
1	Fine transparent medium (i)	0.5-0.7	0.40	0.45
2	Average transparent medium (ii)	1.7-2.4	0.38	1.8
3	Coarse transparent medium (iii)	2.4-3.4	0.36	5.6

همانطور که در شکل ۱ نشان داده شده محیط آزمایش در جعبه تاریکی قرار داده شد تا امکان ورود نور به آن تنها از وجه پشت (در مدل قائم) و وجه زیرین (در مدل افقی) امکان پذیر باشد. در تمامی مراحل نور به صورت یکنواخت از یک صفحه نیمه شفاف به داخل محفظه وارد شده و پس از عبور از جعبه شیشه ای متخلخل وارد دوربین عکسبرداری می شد.

## ۲-۲- روش ها

### ۲-۲-۱- تحلیل معادله انتقال جرم در محیط متخلخل

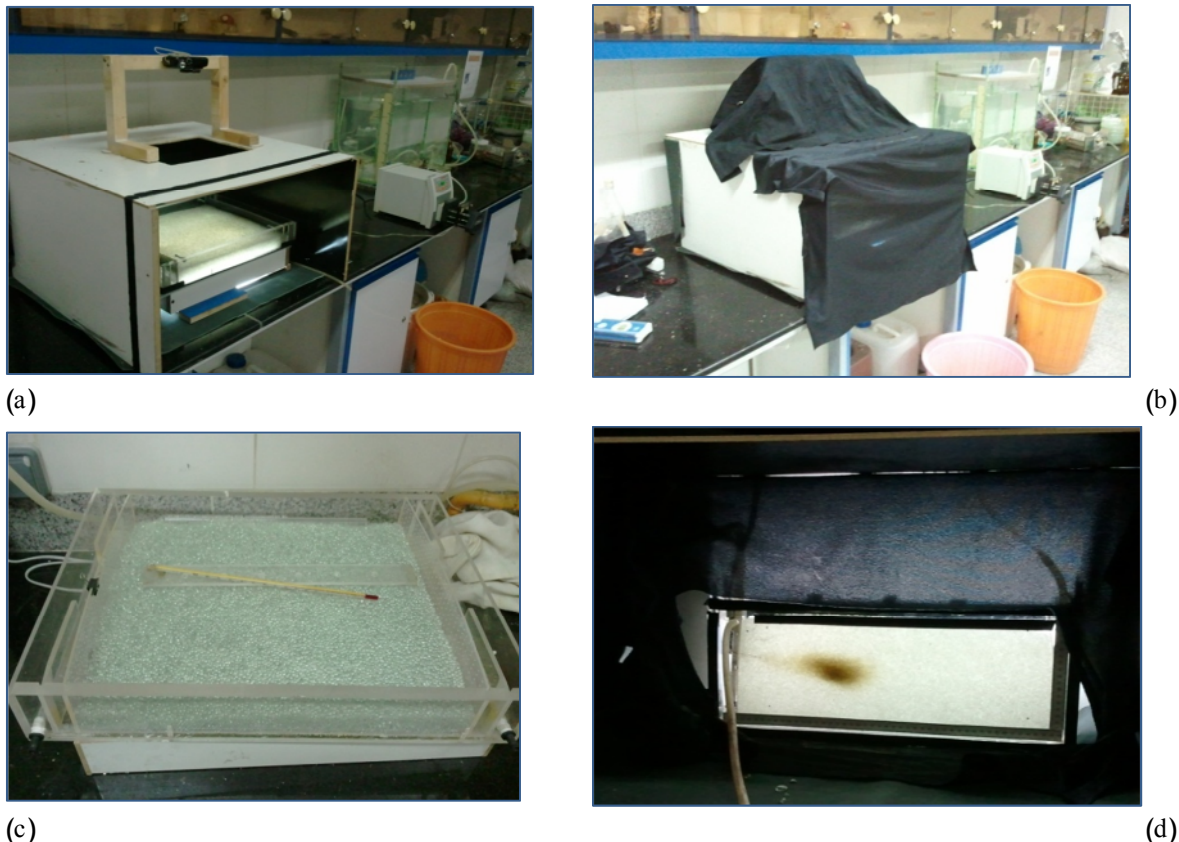
امروزه مدل سازی دو بعدی، پر کاربرد ترین ابزار برای تحلیل و پیش بینی انتقال محلول در شرایط میدانی بوده و به طور قابل ملاحظه ای، مؤثرتر از مدل های یک بعدی است (Fadaei et al. 2015).

سامانه های طبیعی آب زیرزمینی در مشخصات هندسی، منشاء، بافت و تشکیلاتی وارد بر آن ها پیچیده و به طور گسترده ای در زمان و مکان متغیر هستند. از این رو بیشتر مسائل پیچیده عملکرد سامانه های طبیعی آب زیرزمینی را که راه حل تحلیلی ندارند، به کمک مدل های فیزیکی یا عددی تحلیل می نمایند (Bedient et al. 1994).

متخلخل از جعبه شنی استفاده شد. روشی که برای دستیابی بیشتر به نحوه جریان در داخل جعبه شنی وجود دارد، استفاده از دانه های شیشه ای شفاف به عنوان محیط متخلخل است؛ ورود ردبایب های رنگی می تواند نحوه پدیده پخش در این محیط نیمه شفاف را آشکار سازد (Kueper et al. 1989).

در مدل های از نوع جعبه شنی برای بررسی مسیر و نحوه حرکت مواد در محیط متخلخل روش های مختلف تعیین غلظت مورد استفاده قرار می گیرد. برخی از این روش ها نیاز به نمونه گیری داشته و در نقاط مختلف از مسیر باعث ایجاد اغتشاش در خطوط جریان و بهم خوردن مسیر حرکت محلول می شوند. در پژوهش حاضر برای رفع این مشکل، تعیین غلظت در نقاط مختلف به روش پردازش تصاویر پیشنهاد شده است. مزیت اصلی این روش عدم تداخل در محیط و حرکت سیال است. به علاوه نتایج را در گستره وسیعی از فضا در طول زمان با حداقل هزینه و اتلاف وقت حاصل می نماید.

یکی از نکات حائز اهمیت در ساخت مدل جریان آب در محیط متخلخل، حفظ شرایط جریان دو بعدی مسئله است. ضخامت بیش از اندازه محیط موجب تشکیل جریان های چند شاخه ای در بعد سوم محیط شده و نتایج را دچار خطا می نماید. ضخامت اندک محیط آزمایش نیز موجب تشکیل جریان های مرزی ناشی از اثرگذاری دیواره ها می شود. در پژوهش های قبلی ضخامت ایده آل جهت جلوگیری از وقوع این پدیده  $1/5$  تا  $2$  سانتی متر در نظر گرفته شده است (Kueper et al. 1989). البته مطالعات آن ها مربوط به جریان دوفازی در محیط متخلخل بوده است. ابعاد دیگر محیط آزمایش بر این اساس تعیین شده اند که امکان تشکیل جریان یکنواخت در سراسر محیط و عبور هاله (پلوم) آلدگی بدون برخورد با کناره های مدل وجود داشته باشد. حد فاصل حرکت پلوم از ورودی تا خروجی باید به اندازه ای باشد که در حداقل سه گام زمانی امکان عکسبرداری از آن وجود داشته باشد و مسیر حرکت آلاینده به اندازه کافی بزرگ باشد تا بتوان پدیده پخش را مشاهده نمود. اگرچه هنگامی که جریان با سرعت پایین تر از  $20$  متر بر روز برقرار است، حرکت هاله پراکنده کند بوده و طول افقی زیاد برای مدل مورد نیاز نمی باشد؛ اما در سرعت های بالا، بیش از  $30$  متر بر روز، هاله پراکنده سریع تر از مدل خارج می شود و شکل آن کشیده تر خواهد بود. لذا

**Fig. 1.** Deployment of lab models inside the dark box

شکل ۱- نحوه استقرار مدل‌های آزمایشگاهی داخل جعبه تاریک

$$C(x, y, t) = \frac{m'}{4\pi n t \sqrt{D_x D_y}} \exp \left[ -\frac{(x - v_t)^2}{4D_x t} - \frac{y^2}{4D_y t} - \lambda t \right] \quad (1)$$

**ب- منبع تزریق پیوسته**

در سال ۱۹۷۲ راه حلی به صورت رابطه ۲ برای حالتی که شرایط پایداری نسبت به زمان حاکم باشد و توده آلاند نیز پایدار شده باشد (ردیاب غلظت  $C_0$  با نرخ تزریق  $Q$ ) ارائه شد. این راه حل نیازمند به کارگیری  $K_0$  است که به صورت تابع بسل تغییر یافته نوع دوم و از مرتبه صفر تعریف می‌شود (Bedient et al. 1994).

$$C(x, y) = \frac{C_0 Q}{2\pi \sqrt{D_x D_y}} \exp \left( \frac{v_x^2}{2D_x} \right) K_0 \left\{ \frac{v_x^2}{4D_x} \left( \frac{x^2}{D_x} + \frac{y^2}{D_y} \right)^{1/2} \right\} \quad (2)$$

**۲-۲-۲- الگوریتم پردازش تصاویر**

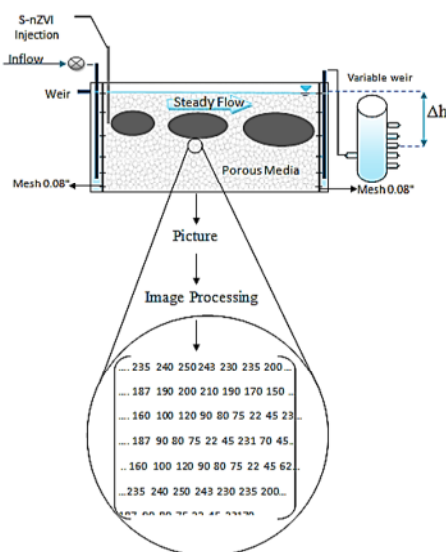
پردازش تصاویر عبارت از فرایندی است که به کمک آن می‌توان اطلاعات مطلوب ثبت شده در تصاویر را استخراج نمود. به عبارت

استراتژی این پژوهش نیز معادل سازی سامانه محیط متخلخل زیرزمین توسط مدل فیزیکی دوبعدی و آنگاه حل تحلیلی معادلات دیفرانسیلی حاکم و در نهایت تعیین متغیرهای حاکم و تعمیم آن بر رفتار انتقال در محیط متخلخل واقعی خاک و سنگ می‌باشد. در ادامه حل تحلیلی معادله پخش برای شرایط مشابه مدل‌های فیزیکی این پژوهش ارائه شده است.

**الف- منبع تزریق آنی**

برای یک منبع آنی و یا یک تزریق پیوسته کوتاه مدت، غلظت  $C$  در هر نقطه در صفحه  $x$  و  $y$  را می‌توان به کمک رابطه ۱ پیش‌بینی نمود.  $(1/Vt)\lambda$  نرخ تجزیه از مرتبه اول می‌باشد. فرض می‌شود مولفه سرعت در جهت  $y$ ، صفر و در جهت  $x$ ، هم راستا با جهت حرکت جريان باشد و آلاند به صورت یکپارچه و در راستای محور عمودی تزریق شود. سرعت جريان نیز باید با استفاده از پایش میدانی یا تحلیل عددی به دست آید (Bedient et al. 1994).

نرم افزار MATLAB می باشد. چنانچه اشاره شد، تصاویر از یک محیط نیمه شفاف تهیه شده اند که نور به طور یکنواخت از پشت محیط آزمایش به داخل آن تابانده می شد. الگوریتم پردازش تصاویر مورد استفاده در این پژوهش را می توان در سه بخش مجزا در نظر گرفت، بخش اول پردازشی است که تصویر پایه آزمایش را به فرم استاندارد تبدیل می کند. بخش دوم پردازشی است که بر تصویر آزمایش اعمال شده و بخش سوم شامل حذف تصویر پایه از تصویر آزمایش و استخراج نتایج نهایی است (شکل ۲).



**Fig. 2.** Schematic view of the transparent box model and its image processing

شکل ۲- شماتیک مدل جعبه شفاف و تحلیل پردازش تصاویر

**۲-۳-۳- الگوریتم کمترین مجموع مربعات<sup>۱</sup>**  
روش کمترین مجموع مربعات روشی در آمار است که بیشتر برای حل دستگاه معادلاتی به کار می رود که در آن تعداد معادله ها بیش از تعداد مجهول ها است. این روش برای نخستین بار در سال ۱۷۹۴ میلادی ارائه شد و بیشتر در تحلیل رگرسیون کاربرد دارد. کمترین مربعات در واقع روشی برای برآشش<sup>۲</sup> داده ها است. در روش کمترین مربعات، بهترین مدل برآشش شده بر مجموعه ای از داده ها مدلی است که در آن مجموع مربع باقی مانده ها کمینه باشد. منظور از باقی مانده ها، اختلاف بین داده مشاهده شده و مقداری است که از مدل بدست می آید.

<sup>1</sup> Least Squares Sum Method (LSM)  
<sup>2</sup> Fitting

دیگر به کمک این روش تصاویر تهیه شده از محیط مورد نظر، توسط یک الگوریتم یا نرم افزار کامپیوتری به صورت مقادیر عددی مورد تحلیل قرار می گیرد. این روش در علوم مختلف مانند علم نجوم، الکترونیک، کامپیوتر، مکانیک، علم مواد، مهندسی نفت و محیط زیست کاربرد دارد; (Shafiefar & Ataei 2005; Schincariol et al. 1993)

هر چند علی رغم قابلیت های این شیوه در افزایش سرعت و دقیقیت کاهش هزینه ها، هنوز به جایگاه مناسب خود نرسیده است. مزیت اصلی استفاده از این روش در مطالعه آزمایشگاهی جریان در محیط های مخلخل، نسبت به نمونه برداری از محیط آزمایش، آن است که بدون ایجاد اغتشاش در محیط، نتایج را با دقیقیت مناسب در گستره وسیع تری از مکان و زمان بدست می آورد. (Inoue et al. 2009)

هدف از اعمال الگوریتم پردازش تصاویر ارائه شده در این پژوهش، تعیین خطوط هم غلظت در هر یک از عکس های بدست آمده از آزمایش ها به عنوان پایه الگوریتم مجموع کمترین مربعات است. کاربرد این روش در مطالعه آزمایشگاهی جریان در محیط های مخلخل، در گذشته معرفی شده است (Shafiefar & Ataei. 2006)

تحقیق در پژوهش خود توانستند خطای اندازه گیری ها را به کمتر از ۱۰ درصد برسانند (Schincariol et al. 1993; Rolle et al. 2012; Carlos et al. 2015) الگوریتم پردازش تصاویری که در پژوهش های بالا به کار برده شده، در ۸ گام تفکیک می شود:

- ۱- اسکن کردن نگاتیوها به کمک یک دستگاه اسکنر
- ۲- تهیه منحنی استاندارد چگالی نوری - شفافیت
- ۳- چرخاندن و تبدیل اندازه تصاویر به اندازه استاندارد
- ۴- یکنواخت کردن تصاویر با استفاده از یک فیلتر همسانگر
- ۵- حذف تصویر پایه از تصاویر آزمایش
- ۶- یکنواخت کردن تصاویر با استفاده از یک فیلتر همسانگر
- ۷- محاسبه منحنی چگالی نوری - غلظت ماده رنگی
- ۸- تبدیل چگالی نوری به غلظت ماده رنگی

اساس مدل پردازش تصاویری که در این تحقیق مورد استفاده قرار گرفته نیز با کمی تغییر، مشابه مدل پژوهش های قبلی و براساس الگوریتم ارائه شده توسط شفیعی فر و همکاران در محیط

آزمایش‌ها براساس یک سری پیش‌آزمایش به نحوی طراحی شد تا با حداقل تعداد آزمایش، بتوان نتایج را در محدوده گستردگی منطبق بر شرایط واقعی به دست آورد.

### ۳- نتایج و بحث

قبل از بحث روی مقادیر به دست آمده برای پارامترهای انتقال پذیری، نسبت به دقت نتایج به دست آمده اعتبارسنجی شد و با مقایسه مطالعات مشابه، صحت نتایج، مورد ارزیابی قرار گرفت. این اعتبارسنجی، از روش مقایسه حجم ماده تزریقی و مجموع حجم ماده موجود در پلوم در تعیین میزان خطای مدل و شناسایی عکس‌های مخدوش استفاده شد. برای این منظور در کلیه تصاویر مورد پردازش، حجم ماده موجود در تصاویر محاسبه و در مقایسه با حجم ماده تزریقی به عنوان شاخصی از خطای مدل ارائه شد. به این ترتیب از سری خطاهای به دست آمده، خطای کل مدل تخمین زده شد. بر اساس این نتایج حداقل خطای قابل قبول در نتایج مدل

### ۴- محدودیت‌ها و فرض‌ها

به دلیل پیچیدگی و تعداد زیاد متغیرهای تأثیرگذار، به طور معمول مدل‌سازی پدیده‌های مرتبط با پخش در محیط متخال با فرض‌های متعدد و خطای زیاد همراه است. از جمله مهم‌ترین این محدودیت‌ها عدم امکان مشاهده پخش در محیط خاک و سنگ و همچنین اغتشاشات جریان ناشی از برداشت نمونه از جریان تراویش است. در مطالعه حاضر بحای استفاده از محیط واقعی خاک از دانه‌های شفاف شیشه‌ای استفاده شد و این فرض از جمله مهم‌ترین عوامل خطای در نتایج بود. البته با توجه به شفاف بودن محیط و استفاده از روش پردازش تصاویر، نیاز به برداشت نمونه از محیط برطرف شد و لذا خطای مربوط به آن به حداقل کاهش یافت.

### ۵- مشخصات آزمایش‌ها

شرایط و مشخصات آزمایش‌های صورت گرفته به منظور دستیابی به اهداف این پژوهش در جدول ۲ ارائه شده است. این چیدمان

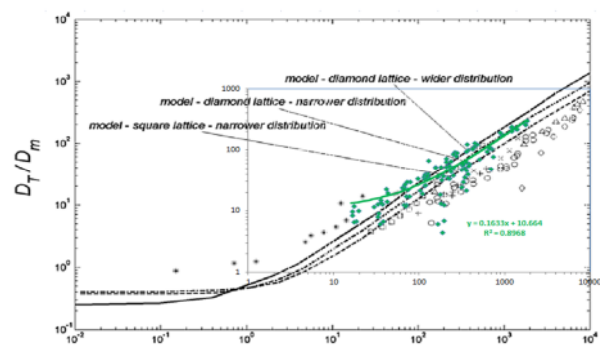
جدول ۲- مشخصات آزمایش‌های انجام شده در این پژوهش

Table 2. Specifications of the experiments conducted

Injection type	Model type	Medium type	Seepage velocity( m/d)	Experiment Code
Pulse injection	Vertical transparent box	Fine transparent medium (i)	4	001
			9	002
			17	003
			31	004
			64	005
			86	006
	Horizontal transparent box	Average transparent medium (ii)	8	007
			16	008
			34	009
			66	010
			85	011
			8	012
Continuous injection	Vertical transparent box	Coarse transparent medium (iii)	16	013
			32	014
			65	015
			85	016
			4	017
			9	018
	Horizontal transparent box	Fine transparent medium (i)	17	019
			8	020
			16	021
			34	022
			8	023
			16	024
	Vertical transparent box	medium (i)	32	025
			8	026
			16	027
			8	028
			16	029
			8	030
	Horizontal transparent box	medium (ii)	16	031
			8	032
			16	033
			8	034
			16	035
			8	036
		medium (iii)	16	037

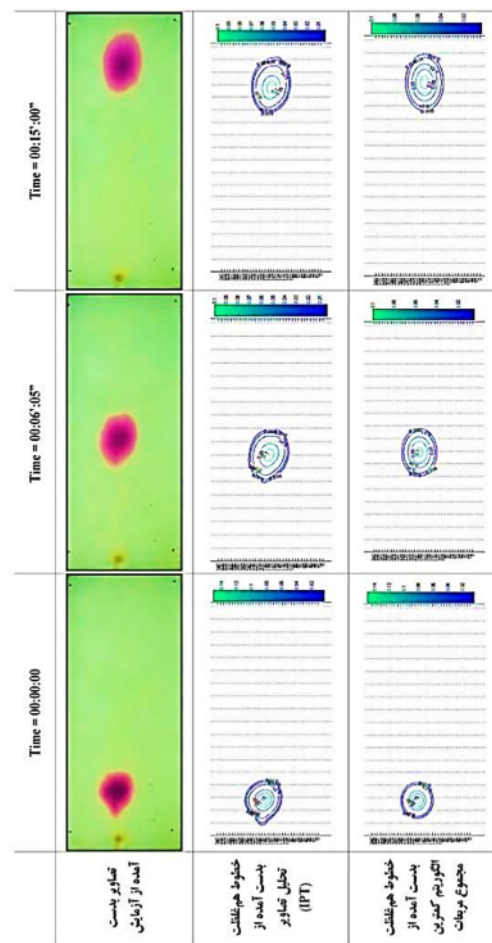
است. لازم به ذکر است در محیط درشت دانه و ریزدانه به خاطر یکدست نبودن رنگ دانه‌ها، دشواری و خطای بیشتری در پردازش تصاویر وجود داشت. علاوه بر مقایسه حجم ماده تزریقی و محاسبه جرم هاله آلدگی، همانطور که در شکل ۳ نشان داده شده، مقایسه نتایج به دست آمده با تحقیقات مشابه نشان‌دهنده همخوانی و سازگار بودن با یافته‌های تحقیقات مشابه است (Branko & Martin 2007; Robert & Paul 1991)

مقایسه این نتایج با یافته‌های پژوهش حاضر نشان‌دهنده نزدیکی مقادیر پیشنهادی برای شرایط مشابه و یکسان بودن روند تغییرات متغیرهای در شکل ۴ نمونه‌ای از خروجی نهایی اعمال الگوریتم کمترین مربعات بر ماتریس خروجی پردازش تصاویر ارائه شده است. این فرایند برای تمامی خروجی‌های بدست آمده از پردازش تصاویر انجام و متغیرهای روابط تحلیلی



**Fig. 3.** Comparison of the values of  $D_T/D_m$  for different Péclet numbers obtained in the present study with those reported by Branko et al. 2007  
شکل ۳- مقایسه  $D_T/D_m$  در اعداد پکله مختلف در پژوهش حاضر و نتایج پژوهش Branko و همکاران در سال ۲۰۰۷

دوبعدی شفاف در محیط ریزدانه معادل ۱۱ درصد و در محیط متوسط دانه معادل ۷ درصد و درشت دانه بر هاله ۸ درصد بوده



**Fig. 4.** Sample final result of the least squares algorithm applied to the image processing output matrix  
شکل ۴- نمونه‌ای از خروجی نهایی اعمال الگوریتم کمترین مربعات بر ماتریس خروجی پردازش تصاویر

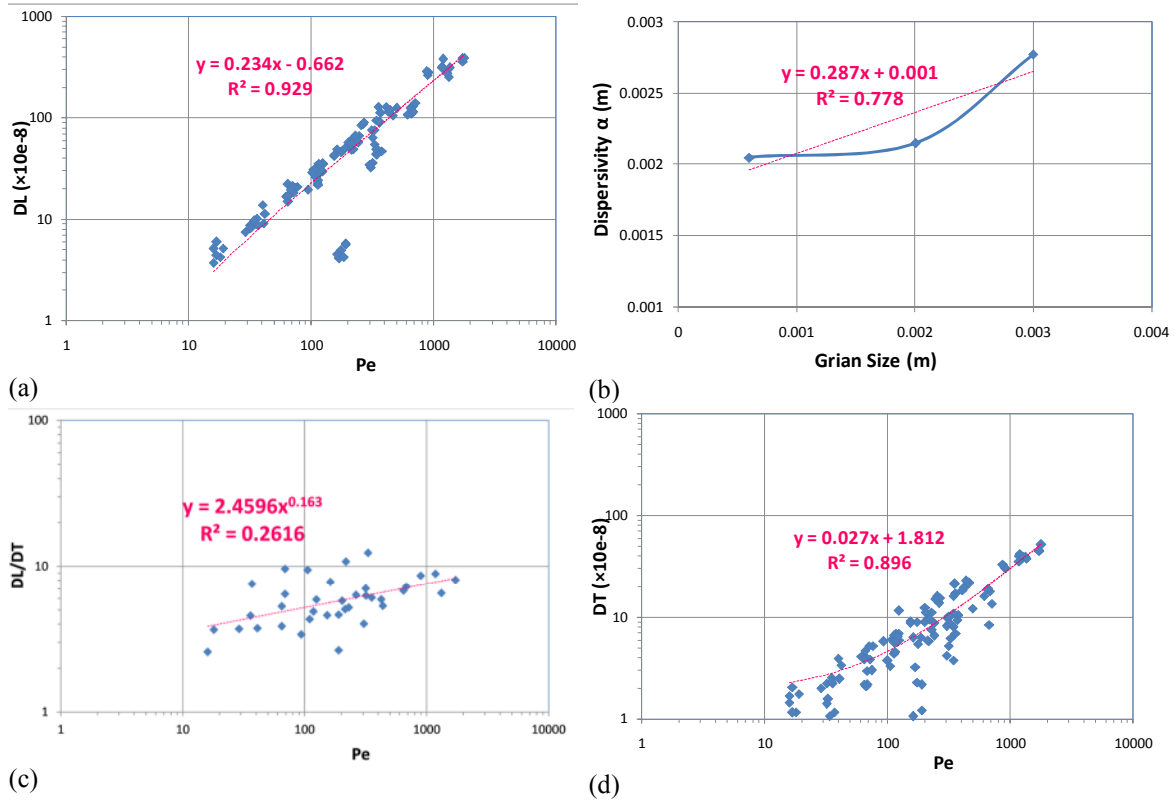


Fig. 5. Analysis of the results obtained for diffusivity coefficients

شکل ۵- تحلیل نتایج مربوط به ضرائب پخش

$$\alpha_L = 0.287d + 0.001 \quad (3)$$

### ۲-۳- ضرایب پخش طولی و عرضی

ضریب پخش طولی به صورت  $D_L = D_m + |V| \times \alpha_L$  و عرضی به صورت  $D_T = D_m + |V| \times \alpha_T$  تعریف می‌شود (Rolle et al. 2012; Carlos et al. 2015) بر اساس نتایج بدست آمده این ضریب علاوه بر بستگی به عوامل تأثیرگذار روی پخش‌پذیری، تابعی از مشخصات جريان در محیط متخلخل نیز می‌باشد به طوری که با افزایش مقدار سرعت بر آن افزوده می‌شود. در این مطالعه تغییرات این پارامتر به صورت تابعی از عدد بدون بعد پکله<sup>۱</sup> مورد بررسی قرار گرفت که براساس نتایج نمایش داده شده در شکل ۵-ب و ج معادلات ۴ و ۵ پیشنهاد شده است

$$D_L = 0.23Pe - 0.662 \quad (4)$$

پخش نظیر ضرائب هیدرودینامیکی پخش ضریب تاخیر برای هر یک از آزمایش‌ها بدست آمد که نتایج آن در شکل ۵ ارائه شده است.

از تفسیر تحلیل‌های عددی و همچنین نتایج بدست آمده از مدل آزمایشگاهی نتایج زیر قابل ذکر است:

### ۱-۳- ضریب پخش‌پذیری طولی

ضریب پخش‌پذیری طولی ( $\alpha_L$ ) تابعی از مشخصات محیط متخلخل نظیر اندازه دانه‌ها، شکل دانه‌ها، تخلخل و همچنین ابعاد مدل است. در این مطالعه مشاهده شد با افزایش ابعاد دانه‌های تشکیل‌دهنده بستر متخلخل، مقدار ضریب پخش‌پذیری زیادتر می‌شود. همچنین ضریب پخش‌پذیری تابع نوع ماده تزریق‌شونده یا غاظت آن نیست. بر اساس شکل ۵-الف رابطه بین قطر دانه‌های بستر (d) با ضریب پخش‌پذیری طولی ( $\alpha_L$ ) مطابق معادله ۳ پیشنهاد می‌شود

<sup>1</sup> Peclet Number

از نوع محیط متخلخل و اندازه دانه‌های تشکیل دهنده خاک است و مقدار آن متناسب با افزایش اندازه حفرات واقع در محیط خاک، افزایش می‌یابد که می‌توان آن را به قطر کانال‌های جریان در محیط متخلخل نسبت داد. ضریب پخش‌پذیری عرضی علاوه بر وابستگی به مشخصات محیط متخلخل، تابع مشخصات جریان نیز می‌باشد. لذا در بررسی آن لازم است از عدد بدون بعد پکله استفاده کرد و محدوده تغییرات آن برای دانه‌بندی  $1/5$  تا  $3$  میلی‌متر در دامنه  $0/002$  تا  $0/0028$  متر می‌باشد. مطابق نتایج این پژوهش با افزایش مقدار عدد پکله، میزان پخش‌پذیری عرضی نیز افزایش پیدا می‌کند.

در نهایت باید توجه داشت که نتایج مدل‌های تجربی مشابه مطالعه حاضر را نمی‌توان به طور مستقیم برای تحلیل پدیده پخش در آبخوان‌های با مقیاس واقعی مورد استفاده قرار داد و لازم است تأثیر مقیاس به کمک مطالعات میدانی یا تحلیل‌های عددی در نظر گرفته شود.

$$D_T = 0.027Pe + 1.812 \quad (5)$$

همچنین ارتباط بین ضرائب پخش طولی و عرضی را از شکل ۵-د می‌توان به صورت معادله ۶ پیشنهاد داد

$$D_L / D_T = 2.141P_e^{0.189} \quad (6)$$

#### ۴- نتیجه‌گیری

در این پژوهش مطالعات آزمایشگاهی گستردۀ ای جهت بررسی کارایی الگوریتم پردازش تصاویر و کمترین مجموع مربعات جهت تعیین هاله آلدگی در محیط متخلخل شفاف انجام گرفت. از نتایج به دست آمده مشخص شد روش پیشنهادی به صورت موفقیت‌آمیز با خطای کمتر از  $11$  درصد توانایی تخمین ضرائب پخش را دارد که این خطای در مقایسه با روش‌های مشابه رضایت‌بخش است. بر اساس نتایج به دست آمده ضریب پخش‌پذیری طولی تابعی

## References

- Bailey, S.E., Olin, T.J., Bricka, R.M. & Adrian, D.D., 1999, "A review of potentially low-cost sorbents for heavy metals", *Journal of Water Research*, 33, 2469-2479 .
- Bedient, P. B., Rifai, H. S. & Newell, C. J., 1994, *Groundwater contamination: Transport and remediation*, Prentice-Hall Publishing Co., Englewood Cliffs, 140-310.
- Branko B. & Martin J. B., 2007, "Pore-scale modeling of transverse dispersion in porous media", *Journal of Water Resources Research*, 43, 1-12.
- Carlos, G., Sergio, A. & Raúl, O., 2015, "Effective mass diffusion and dispersion in random porous media", *The Canadian Journal of Chemical Engineering*, 93(4), 756-765.
- Fadaei, M., Shamsaei, A. & Vossoughi, M., 2015, "Experimental investigation of nano zero-valent iron mobility in porous media", *Journal of Scientia Iranica*, 22(3), 1346-1356.
- Fadaei, M., Vossoughi, M. & Shamsaei, A., 2014, "In-situ nitrate remediation using nano iron/nickel particles" *Journal of Environment Protection Engineering*, 40(3), 75-86.
- Fadaei, M., Vossoughi, M. & Shamsaei, A., 2015, "In-situ  $Pb^{2+}$  remediation using nano iron particles", *Journal of Environmental Health Science and Engineering*, 13(1), 1-11.
- Inoue, K., Takenouti, R., Tanaka, T. & Matsunaga, N., 2009, "Non-intrusive technique for identifying solute dispersion in porous media using image analysis", *International Offshore and Polar Engineering Conference Osaka*, Japan.
- Kueper, B.H., Abbot, W. & Farquhqr, G., 1989, "Experimental observation of multiphase flow in heterogenous porous Media", *Journal of Contaminant Hydrology*, 5, 83-95.

- Lapworth, D. J., Baran, N., Stuart, M.E. & Ward, R.S., 2012, "Emerging organic contaminants in groundwater: A review of sources, fate and occurrence", *Journal of Environmental Pollution*, 163, 287-303.
- Lalezari, R., 2008, "The effect of sewage-fed aquifer old with the release of nitric using MT3D", MSc Thesis, Shahrekord University, Iran. (In Persian)
- Mahmoodian, A., 1985, "The situation in Iran and the pollution caused by the discharge of wastewater into water sources", *Iranian Journal of Water*, 10, 43-53. (In Persian)
- Mohseni, O., 1986, "Babol zone to nitrate contamination of groundwater", MSc Thesis, Tarbiat Modarres University in Tehran, Iran.
- Nanbakhsh, H., 2001, "Evaluation of nitrate and nitrate concentrations in drinking water wells in Urmia", *Research Report*, 98-103. (In Persian)
- Naseri, H. & Alijani, F., 2002, "Study the plain-ize Hydrogeochemistry and groundwater pollution", Research Unit and Water Engineering Standards, Khuzestan Water and Power Authority. (In Persian)
- Naseri, H., 2011, "Groundwater pollution caused by oil pollution: Case study: Industrial Zone Ray", *Journal of Islamic Azad University*, 21(81), 11-22. (In Persian)
- Oswald, S.E. & Kinzelbach, W., 2003, "Three dimensional physical benchmark experiments to test variable-density flow models", *Journal of Hydrology*, 290, 22-42.
- Robert A. J. & Paul V. R., 1991, "A solute transport model for channelized flow in a fracture", *Journal of Water Resources Research*, 27(8), 1797-1808.
- Rolle, M., Hochstetler, D., Chiogna, G., Kitanidis, P. K. & Grathwohl, P., 2012, "Experimental investigation and pore-scale modeling interpretation of compound-specific transverse dispersion in porous media", *Journal of Transport in Porous Media*, 93(3), 347-362.
- Schincariol R.A., Hederick E.E., & Schwartz F.W., 1993, "On the application of image analysis to determine concentration distributions in laboratory experiments", *Journal of Contaminant Hydrology*, 12(3), 197-215.
- Shafiefar, M., 2006, "Check condensate flow in porous media." MSc Thesis, Sharif University of technology, Tehran, Iran. (In Persian)
- Thiruvenkatacharia, R., Vigneswarana, S. & Naidub, R., 2008, "Permeable reactive barrier for groundwater remediation", *Journal of Industrial and Engineering Chemistry*, 14(2), 145-156.
- Toyserkani, Z., 2007, "Organic contamination of groundwater in Tehran", MSc Thesis, Sharif University of Technology, Tehran, Iran. (In Persian)
- USEPA., 2014, *Office of solid waste and emergency response, brown fields and land revitalization programs: Changing American Land and Lives*. Report number: EPA 560-F-08-241.
- Zhao, Y. & Pei, Y., 2012, "Risk evaluation of groundwater pollution by pesticides in China: A short review", *Journal of Procedia Environmental Sciences*, 13, 1739-1747.